

九州工業大学 学生員 〇 甲川 進
 " 正員 加藤九州男
 " " 山本 宏

1. まえがき

前回発表した¹⁾軸力、せん断力、ねじり、曲げを同時に受ける円弧部材の剛性マトリックスを用いて、今回は、具体的モデルの数値計算とともに、曲線斜張橋の静解析を行なった。解析には、有限要素法を用い、変形法の立場をとるものとする。

2. 基本剛性マトリックス

図-1に示す如く座標を定め、節点a, bでの節点力、節点変位を同じ示す記号で表わし、ひまみエネルギーを用いて、節点力と節点変位の関係を次のように求められる。

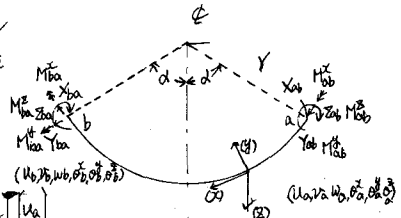


図-1

$\begin{Bmatrix} X_{ab} \\ Y_{ab} \\ Z_{ab} \\ M_{ab}^x \\ M_{ab}^y \\ M_{ab}^z \\ X_{ba} \\ Y_{ba} \\ Z_{ba} \\ M_{ba}^x \\ M_{ba}^y \\ M_{ba}^z \end{Bmatrix} = \frac{EI}{2d^2} \begin{Bmatrix} A \\ B \\ C \\ D \\ E \\ F \\ G \\ H \\ I \\ J \\ K \\ L \end{Bmatrix} \begin{Bmatrix} u_a \\ v_a \\ w_a \\ u_b \\ v_b \\ w_b \end{Bmatrix}$	A	$\frac{\partial B}{\partial X}$	0	0	0	$\frac{\partial C}{\partial X}$	G	$\frac{\partial H}{\partial X}$	0	0	0	$\frac{\partial J}{\partial X}$	U_a
		$\frac{\partial B}{\partial Y}$	0	0	0	$\frac{\partial C}{\partial Y}$	0	$\frac{\partial H}{\partial Y}$	0	0	0	$\frac{\partial J}{\partial Y}$	V_a
		$\frac{\partial B}{\partial Z}$	0	0	0	$\frac{\partial C}{\partial Z}$	0	$\frac{\partial H}{\partial Z}$	0	0	0	$\frac{\partial J}{\partial Z}$	W_a
		$\frac{\partial D}{\partial X}$	0	0	0	0	0	$\frac{\partial I}{\partial X}$	$\frac{\partial H}{\partial X}$	0	0	0	U_b
		$\frac{\partial D}{\partial Y}$	0	0	0	0	0	$\frac{\partial I}{\partial Y}$	$\frac{\partial H}{\partial Y}$	0	0	0	V_b
		$\frac{\partial D}{\partial Z}$	0	0	0	0	0	$\frac{\partial I}{\partial Z}$	$\frac{\partial H}{\partial Z}$	0	0	0	W_b
		$\frac{\partial E}{\partial X}$	0	0	0	0	0	0	0	0	0	0	U_b
		$\frac{\partial E}{\partial Y}$	0	0	0	0	0	0	0	0	0	0	V_b
		$\frac{\partial E}{\partial Z}$	0	0	0	0	0	0	0	0	0	0	W_b
		$\frac{\partial F}{\partial X}$	0	0	0	0	0	0	0	0	0	0	U_a
	$\frac{\partial F}{\partial Y}$	0	0	0	0	0	0	0	0	0	0	V_a	
	$\frac{\partial F}{\partial Z}$	0	0	0	0	0	0	0	0	0	0	W_a	
	$\frac{\partial K}{\partial X}$	0	0	0	0	0	0	0	0	0	0	U_b	
	$\frac{\partial K}{\partial Y}$	0	0	0	0	0	0	0	0	0	0	V_b	
	$\frac{\partial K}{\partial Z}$	0	0	0	0	0	0	0	0	0	0	W_b	
	$\frac{\partial L}{\partial X}$	0	0	0	0	0	0	0	0	0	0	U_a	
	$\frac{\partial L}{\partial Y}$	0	0	0	0	0	0	0	0	0	0	V_a	
	$\frac{\partial L}{\partial Z}$	0	0	0	0	0	0	0	0	0	0	W_a	

SYM.

各成分中の2dは弧長であり、A, B, C...は部材の幾何学的形状と材料の縦方向の弾性係数によって決まる定数である。ここに省略します。

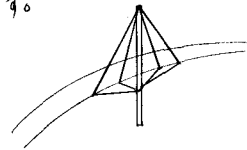


図-2

3. 解析モデル

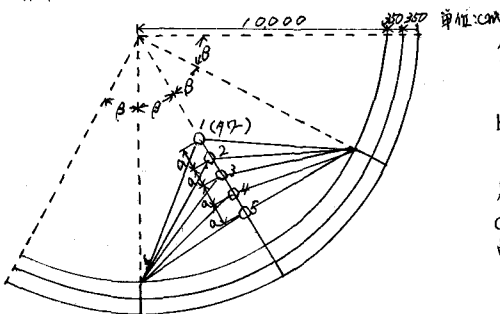


図-3

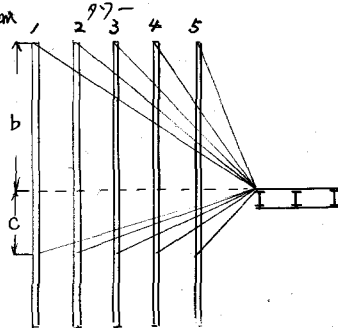


図-4

図-3に示すように、円弧部材を、同心円状にならべ、主桁とし、これに直交する直線部材を横桁とし、さらに節点においてロープでつなぐ。曲線斜張橋をなす。ロープは節点で、それぞれ2本づつ取りつけられているが平面図では1本の線としが描かれていない。(図-3, 4 参照)

それぞれ寸法は図の如くである。桁にはI型鋼を使用した。

但し、ロープのヤング率: $2.0 \times 10^6 \text{ kg/cm}^2$

鋼のヤング率: $2.1 \times 10^6 \text{ kg/cm}^2$

鋼のせん断弾性係数: $8.0 \times 10^5 \text{ kg/cm}^2$ とする。

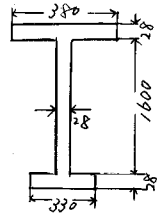


図-5

4. 検討内容

- 1) 従来の曲線橋と曲線斜張橋との比較により、ロープの効果を調べる。
- 2) 77-の位置に与る影響を今回は図-3, 4に示す、5つの場合について比較検討することにした。

5. あとがき

詳細にわたる報告は発表の日行なり予定である。

参考文献

- 1) 山本、加藤、伊川、「曲線斜張橋の風性方程式について」第24回年次学術講演会講演要録集49.10
- 2) 山本 俊「格子げたの解析について」九州工業大学研究報告(工学)第24号 82.47.2
- 3) " 円弧部材に対する伝達マトリックス法の基本式」九州工業大学研究報告(工学)第26号
- 4) H.C. マーケン著 吉野源天監訳「マトリックス法による構造力学の解法」培風館
- 5) 三本木、吉村共著「有限要素法による構造解析プログラム」培風館